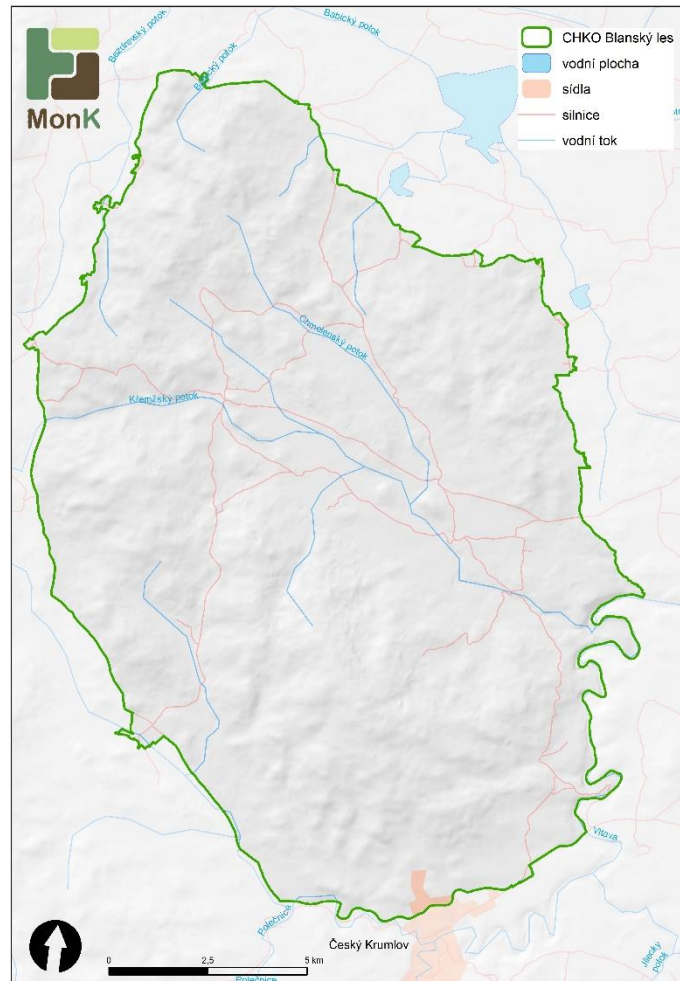


# CHKO Blanský les



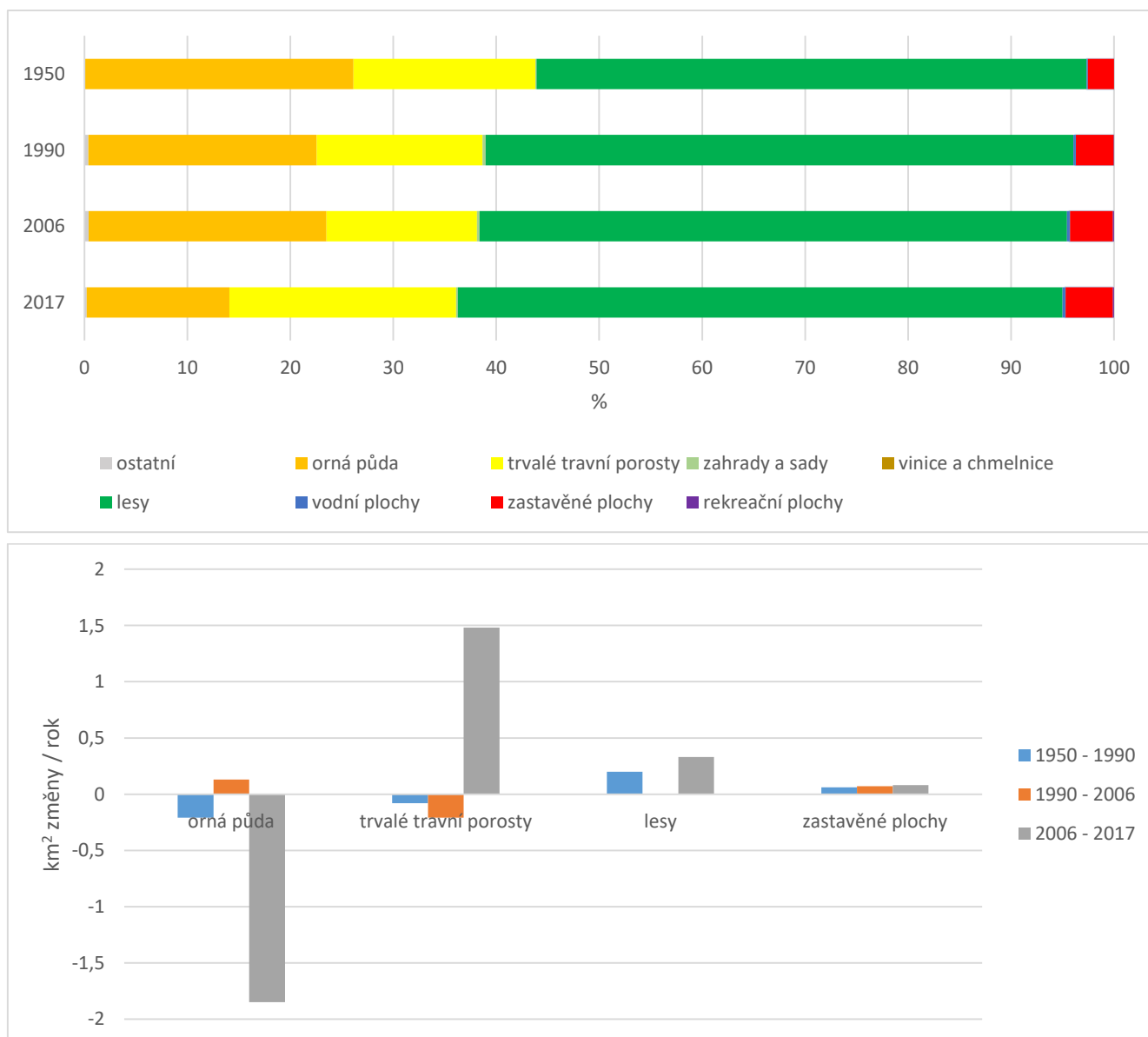
## Obsah

1. Změny krajinného pokryvu .....	2
1.1 Změny a jejich vývoj .....	2
1.2 Distribuce změn v území .....	5
1.3 Interpretace změn .....	5
2. Změny říční sítě a její fragmentace .....	6
3. Analýza antropogenního tlaku na krajinu .....	7
4. Fragmentace krajiny .....	12
5. Habitatové modelování .....	17

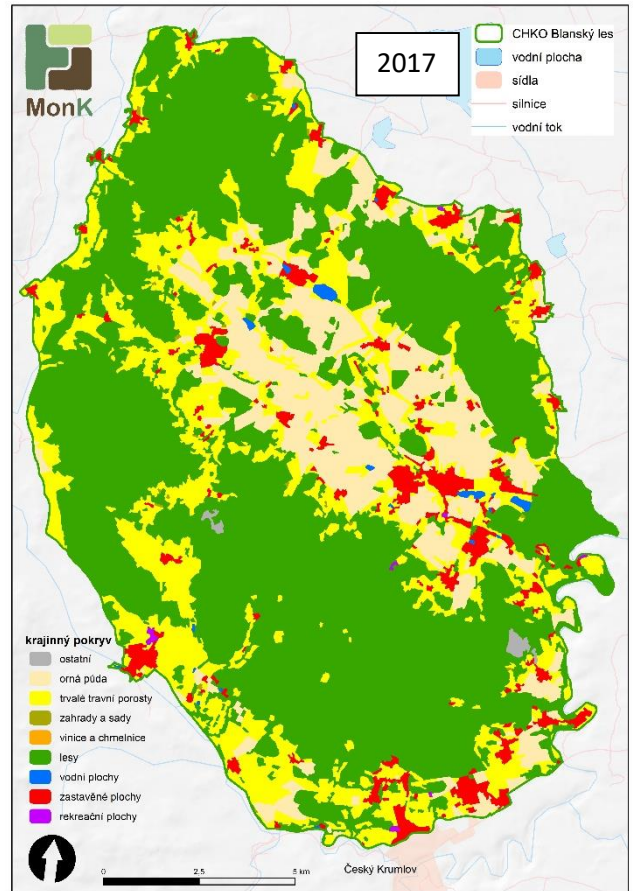
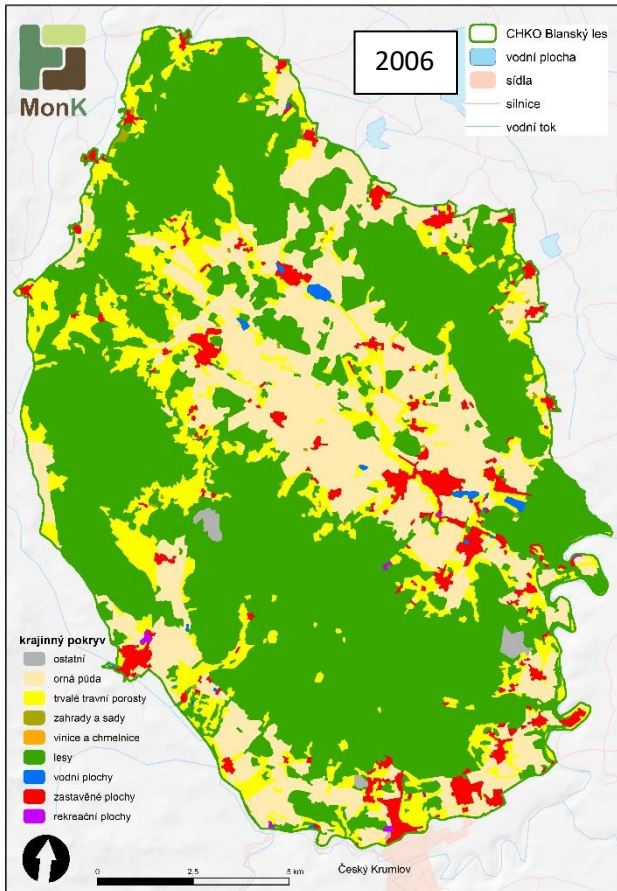
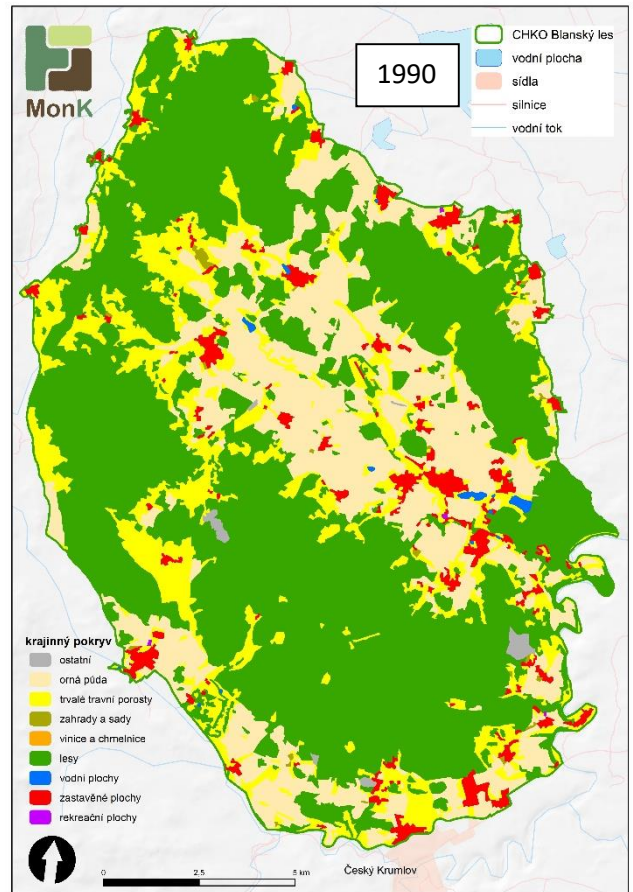
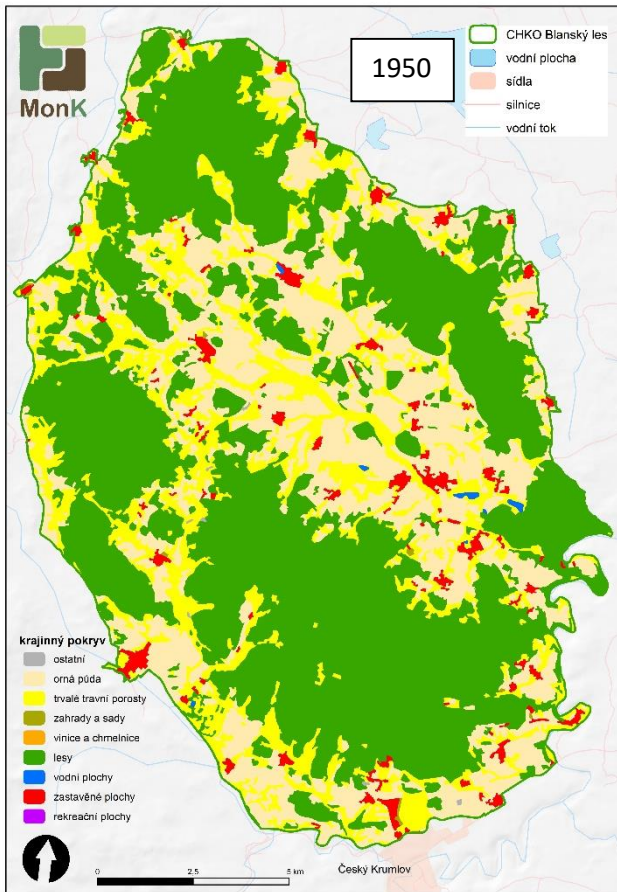
# 1. Změny krajinného pokryvu

## 1.1 Změny a jejich vývoj

Podíly jednotlivých tříd krajinného pokryvu v CHKO Blanský les byly od začátku pozorování až do roku 2006 velmi stabilní, a to včetně vysokého zastoupení orné půdy v porovnání s ostatními obdobnými územími. Až v období mezi časovými horizonty 2006 a 2017 došlo k většímu úbytku orné půdy ve prospěch zvětšení plochy trvalých travních porostů (Obr. 1.1). Kromě toho pozvolně narůstala po celou dobu s výjimkou období mezi časovými horizonty 1990 a 2006 plocha lesa (z 53,5 % na 58,8 %), který celkově území dominuje. Kontinuálně po celou dobu docházelo k rozvoji zástavby a také ke zvětšování rozlohy vodních ploch. V území jsou lokalizovány dva poměrně velké lomy zařazené do ostatních ploch (Obr. 1.2).

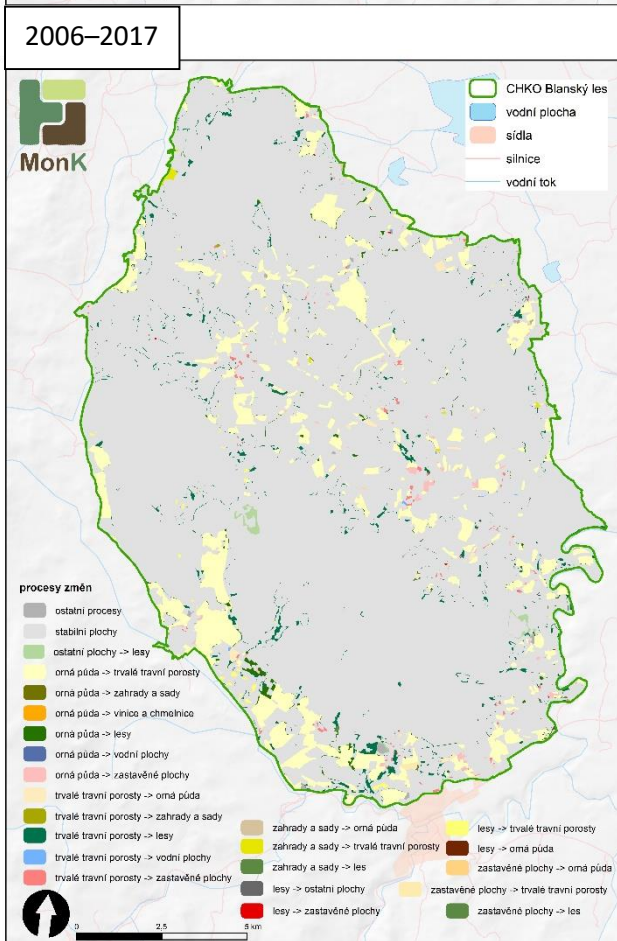
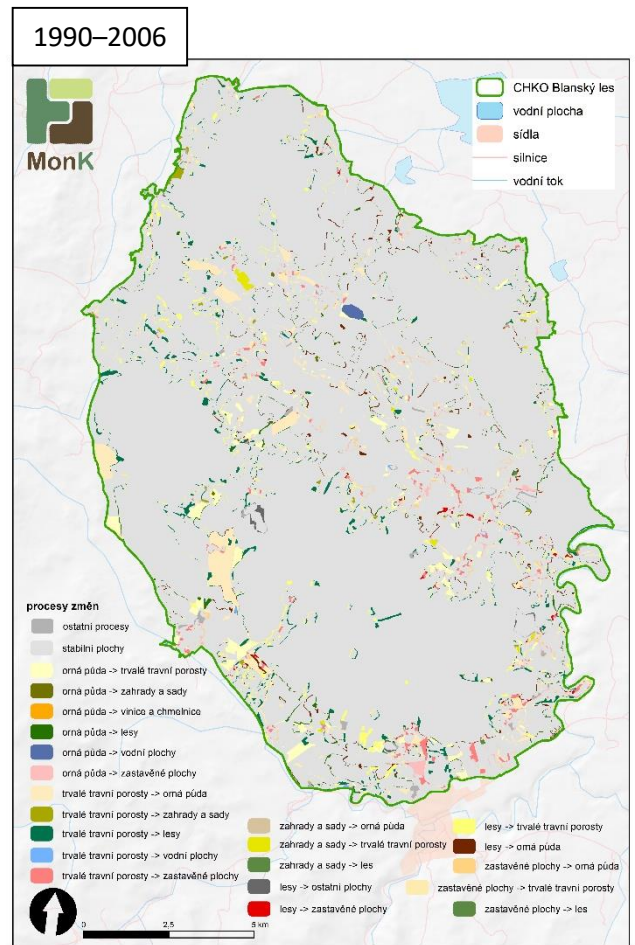
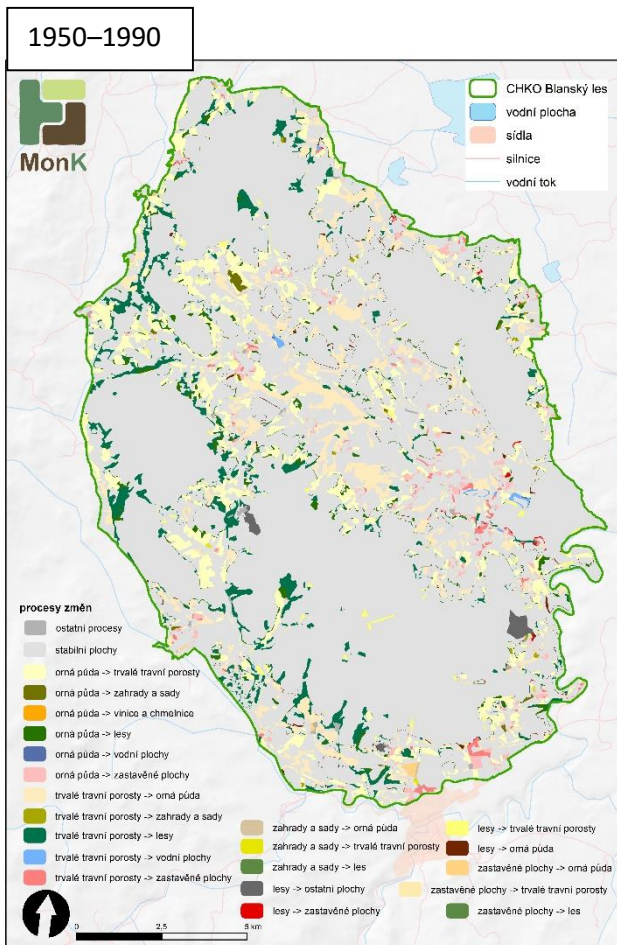


Obr. 1.1 Vývoj krajinného pokryvu v CHKO Blanský les



**Obr. 1.2** Vývoj krajinného pokryvu v CHKO Blanský les od r. 1950 do 2017

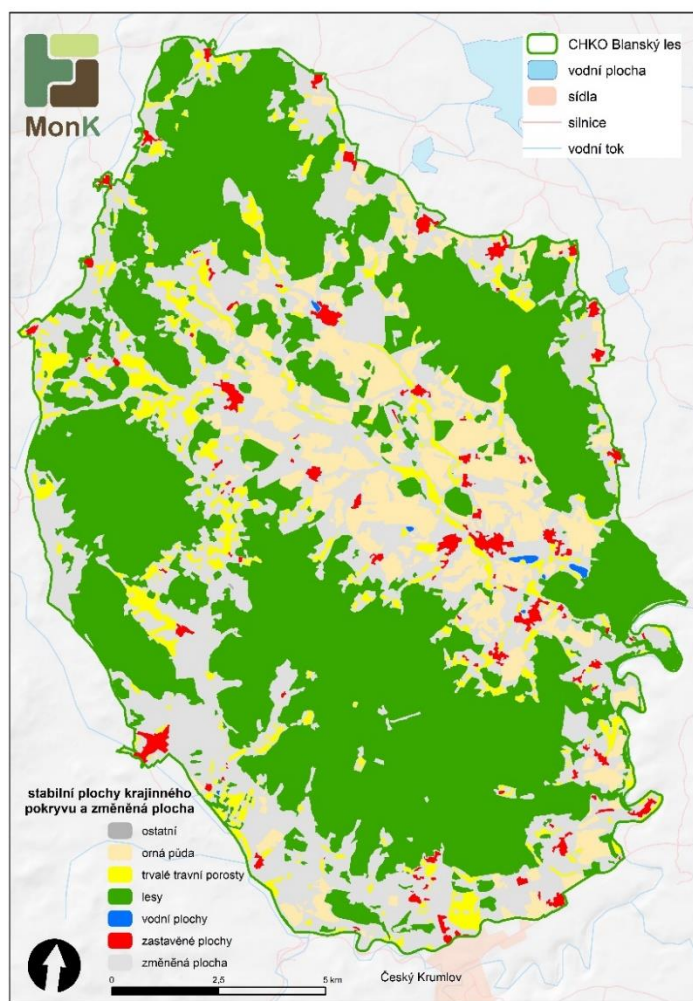




**Obr. 1.3** Prostorové rozložení procesů změn kategorií krajinného pokryvu v CHKO Blanský les v obdobích 1950–1990, 1990–2006 a 2006–2017

## 1.2 Distribuce změn v území

Přes stabilní podíly jednotlivých tříd krajinného pokryvu došlo během sledovaného období ke značným změnám s územním průmětem. Mezi lety 1950 a 1990 byla orná půda scelována v pásu okolo sídel, který směřuje přes střed území zhruba ze severozápadu k jihovýchodu. Naopak ve vyšších partiích na západě území při hřebenu Blanského lesa se pole měnila v trvalé travní porosty a zároveň přibývalo lesa. Kromě toho došlo v prvním sledovaném období ke vzniku Brložského rybníka a k rozšíření Borského rybníka. Rozrůstala se zástavba, hojně např. u Křemže. Vznikla nebo dále postupovala těžební



činnost v lomech u Vyšného, Zrcadlové hutě, Lazeckého vrchu a Na Drahách.

Od roku 1990 do roku 2006 došlo v západní části území k návratu orné půdy, nadále se zvětšovaly zastavěné plochy (Český Krumlov, Křemže) a nově přibýly na jihu CHKO rekreační plochy – kempy u Krasetína, Křenova a Třísova. Také vznikly nové vodní plochy, mezi nimi i Podnovoveský rybník.

Poslednímu sledovanému období mezi roky 2006 a 2017 dominovala proměna orné půdy na trvalé travní porosty, ve velké míře po jižním okraji území. Také došlo ke zmenšení těžebních areálů, např. v lomu Zrcadlová huť a v lomu Vyšný, kde byla těžba během 90. let ukončena. Dále probíhal nárůst zastavěných ploch v okolí Křemže. Les se rozrůstal po jeho okrajích na celém území CHKO (Obr. 1.3 a 1.4). Podrobnější výčet jednotlivých konkrétních změn lze nalézt v textové příloze.

**Obr. 1.4** Dynamika krajiny CHKO Blanský les vyjádřená stabilními a nestabilními plochami za celé sledované období

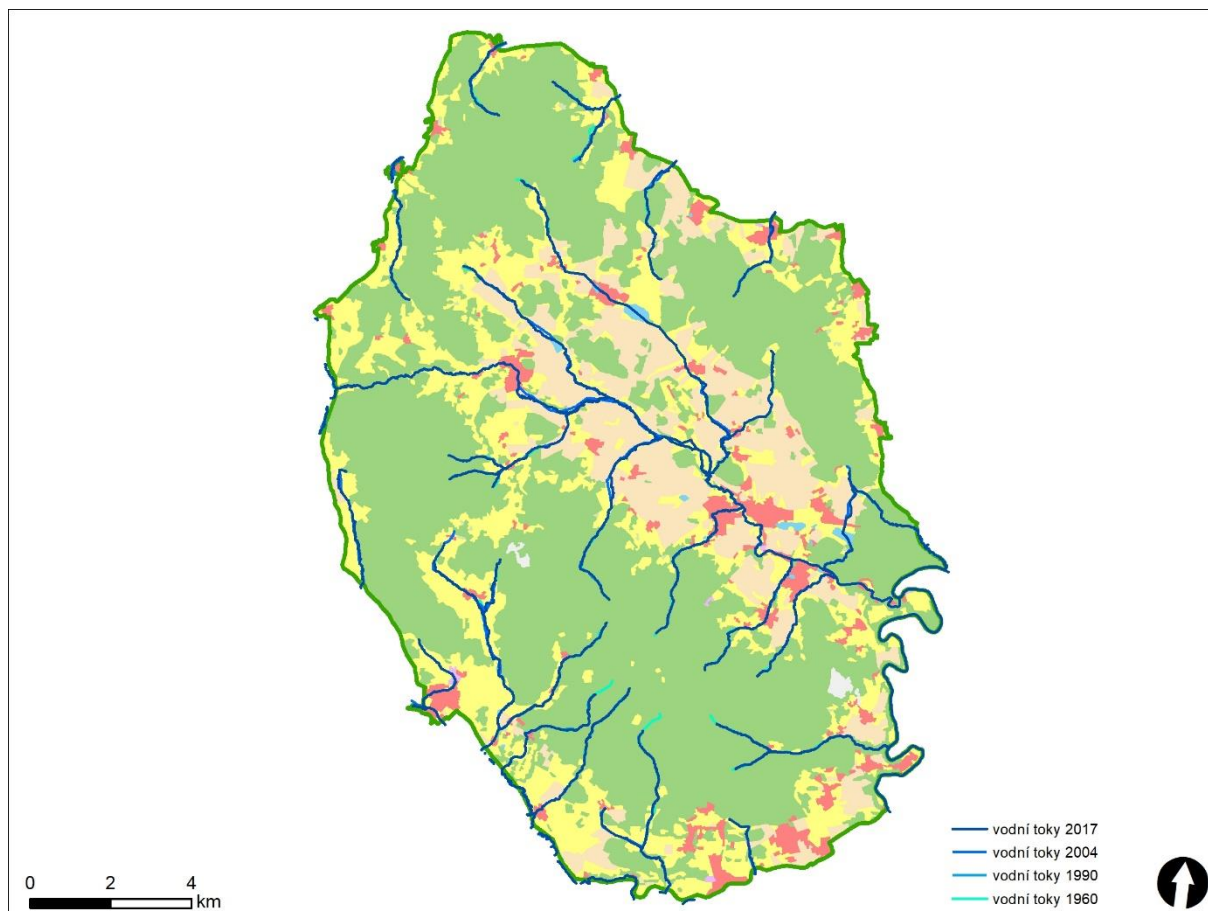
## 1.3 Interpretace změn

V prvním sledovaném období mezi lety 1950 a 1990 došlo k „racionalizaci“ využití otevřené krajiny a orná půda byla scelena v území blízko sídel, naopak výše položená orná půda byla zatravněna. To vedlo k homogenizaci krajiny patrně například ze zmenšení počtu plošek a zvětšení průměrné velikosti plošky orné půdy. Dále došlo k nezvyklému nárůstu orné půdy i po roce 1990, ale po roce 2006 převážil i z jiných území známý trend extenzifikace využití území, při kterém byla orná půda na relativně velkých rozlohách zatravněna. Po celou sledovanou dobu se zvětšovala rozloha zastavěných ploch, což může být částečně důsledek blízkosti Českých Budějovic a zejména Českého Krumlova jako dvou velkých center.



## 2. Změny říční sítě a její fragmentace

Říční síť byla zpracována v digitální podobě na základě dostupných topografických map z 50. a 90. let 20. století a s využitím vektorových dat ZABAGED pro období roku 2004 a 2016. Bohužel nebylo na území CHKO metodicky jednotně postupováno při vytváření všech mapových podkladů, proto je nutné prezentované výsledky kriticky zhodnotit. V doplňujícím textu jsou proto uvedeny také typové příklady problematického zobrazování říční sítě s možným vlivem na výsledky změn a hustoty říční sítě. Taktéž jsou uvedeny konkrétní postupy v případě sjednocení zjevných nepřesností pro objektivní posouzení vývoje říční sítě v daném území.



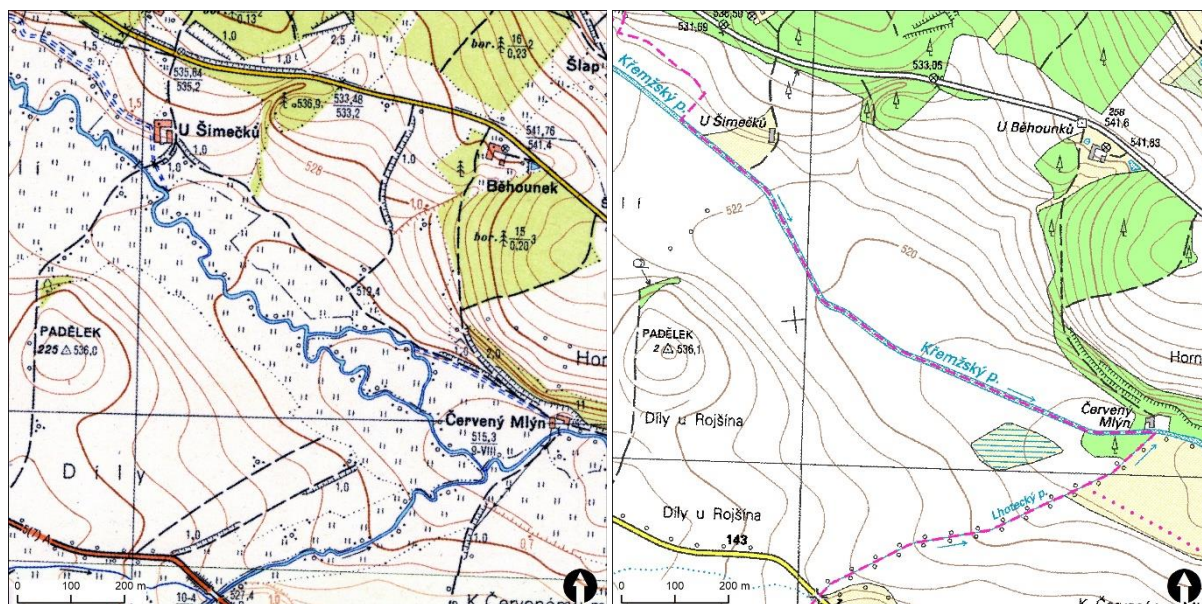
**Obr. 2.1** Změny říční sítě v rámci CHKO Blanský les

Hustota říční sítě v CHKO Blanský les odpovídá středním hodnotám v rámci chráněných území v České republice (Tab. 2.1). Hustější říční síť je v centrální odlesněné části v údolí Křemžského potoka, na který navazují drobnější pravostranné i levostranné přítoky. Během sledovaného období se délka vodních toků v tomto území mírně snížila, v posledním období došlo k mírnému zvýšení délky vodních toků. Z Obr. 2.1 vyplývá, že za zkracování délky vodních toků v druhé polovině 20. století je zodpovědné napřimování některých úseků vodních toků a taktéž změna polohy pramene u vodních toků v jižní části území pod horou Kleť. Pozitivní trend navyšování délky vodních toků v posledních letech lze přičítat i možnostem přirozeného vývoje vodních koryt v některých úsecích v nivní krajině.

**Tab. 2.1** Vývoj hustoty říční sítě na území CHKO Blanský les

Charakteristiky říční sítě	1960	1990	2004	2017
Celková délka (km)	157,72	153,67	153,65	155,01
Hustota říční sítě (km/km <sup>2</sup> )	0,72	0,70	0,70	0,71
<b>Délka řek na území CHKO</b>				
Chmelenský potok	11,11	10,49	10,49	10,59
Křemžský potok	22,52	21,10	21,04	20,97
Vltava	13,70	13,70	13,70	13,70

Řeka Vltava zasahuje do území pouze okrajově a její vodní tok je zde trasově stabilizován, u dalších významnějších vodních toků v CHKO Blanský les došlo během 60 let ke zkrácení délky, zejména díky regulaci úseků jejich napřimováním. Nejvíce se to projevilo na Křemžském potoku (Obr. 2.2).



**Obr. 2.2** Regulace Křemžského potoka zachycená na mapách z roku 1959 a 2004

### 3. Analýza antropogenního tlaku na krajinu

CHKO Blanský les je relativně malou a periferní oblastí, která neleží přímo u státní hranice, ale v dostupné vzdálenosti od Českých Budějovic a Českého Krumlova. I proto můžeme přes určitou perifernost sledovat během období kontinuální vývoj antropogenních struktur, například nárůst zastavěného území o více než 75 % původního stavu s vysokým nárůstem hned v období od roku 1950 do roku 1990. Oproti tomu rekreační infrastruktura sice přibývá, ale ve srovnání s exponovanějšími územími se nejedná o velké rozlohy.

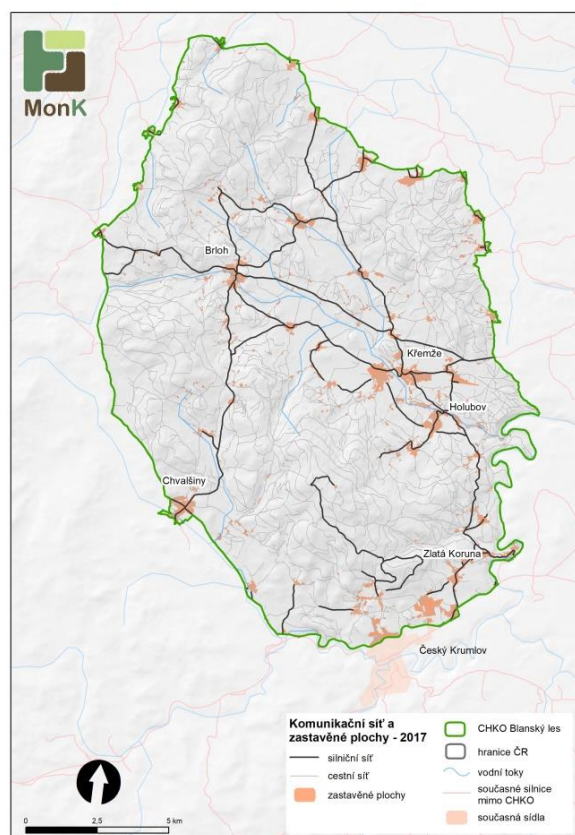
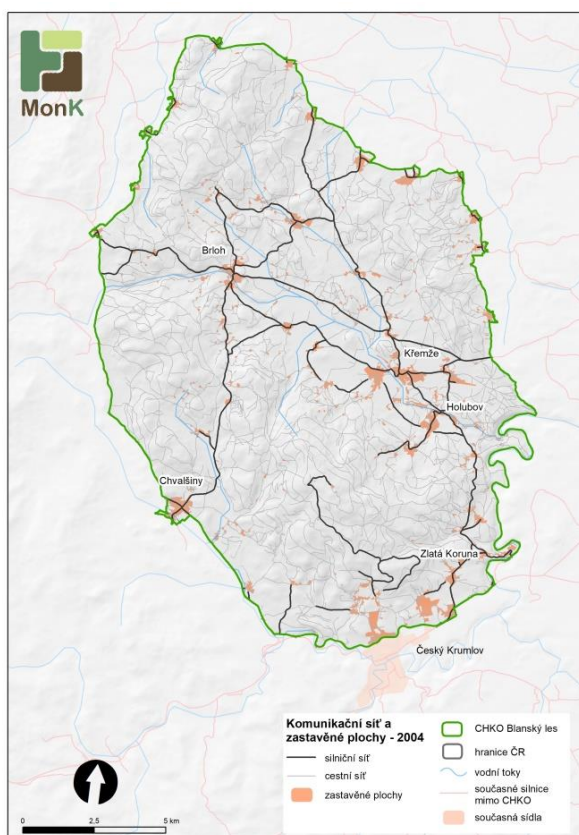
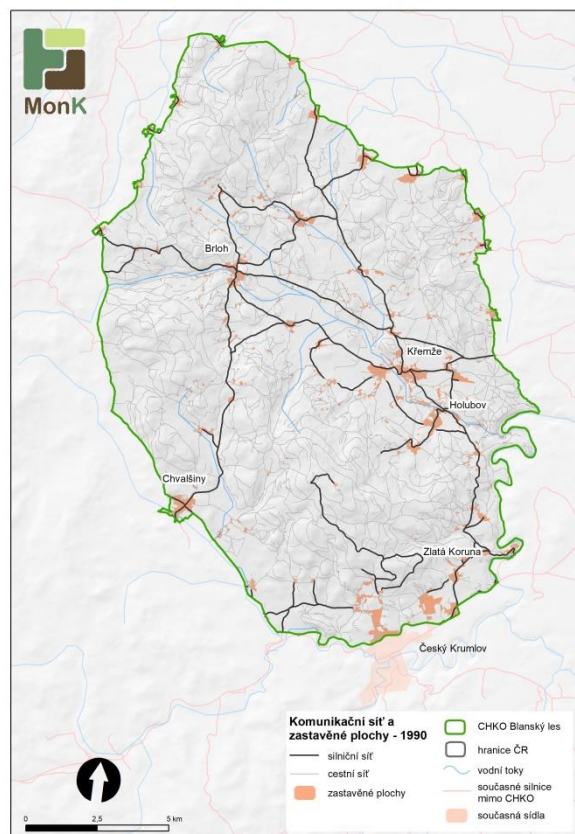
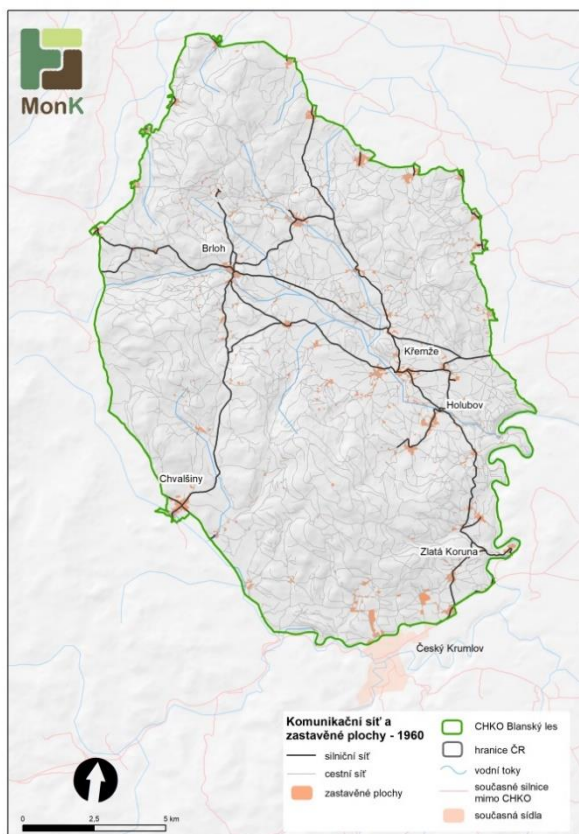
Komunikační síť snížila svou délku v důsledku zániku cest, který je nejvíce patrný mezi roky 1950 a 1990. Ve stejném období přibývalo silnic a ulic, jejichž rozvoj po roce 1990 již nebyl dramatický, silnic dokonce mírně ubylo. Celkově se hustota komunikační sítě snížila z 5,8 na 5,4 km na km<sup>2</sup>.

Potenciálně zastavitelné plochy jsou navrženy hlavně v zázemí obcí Chvalšiny, Brloh, Křemže, Holubov a pak na severovýchodním a jižním okraji CHKO (Přísečná v zázemí Českého Krumlova).

**Tab. 3.1** Vývoj antropogenních prvků na území CHKO Blanský les

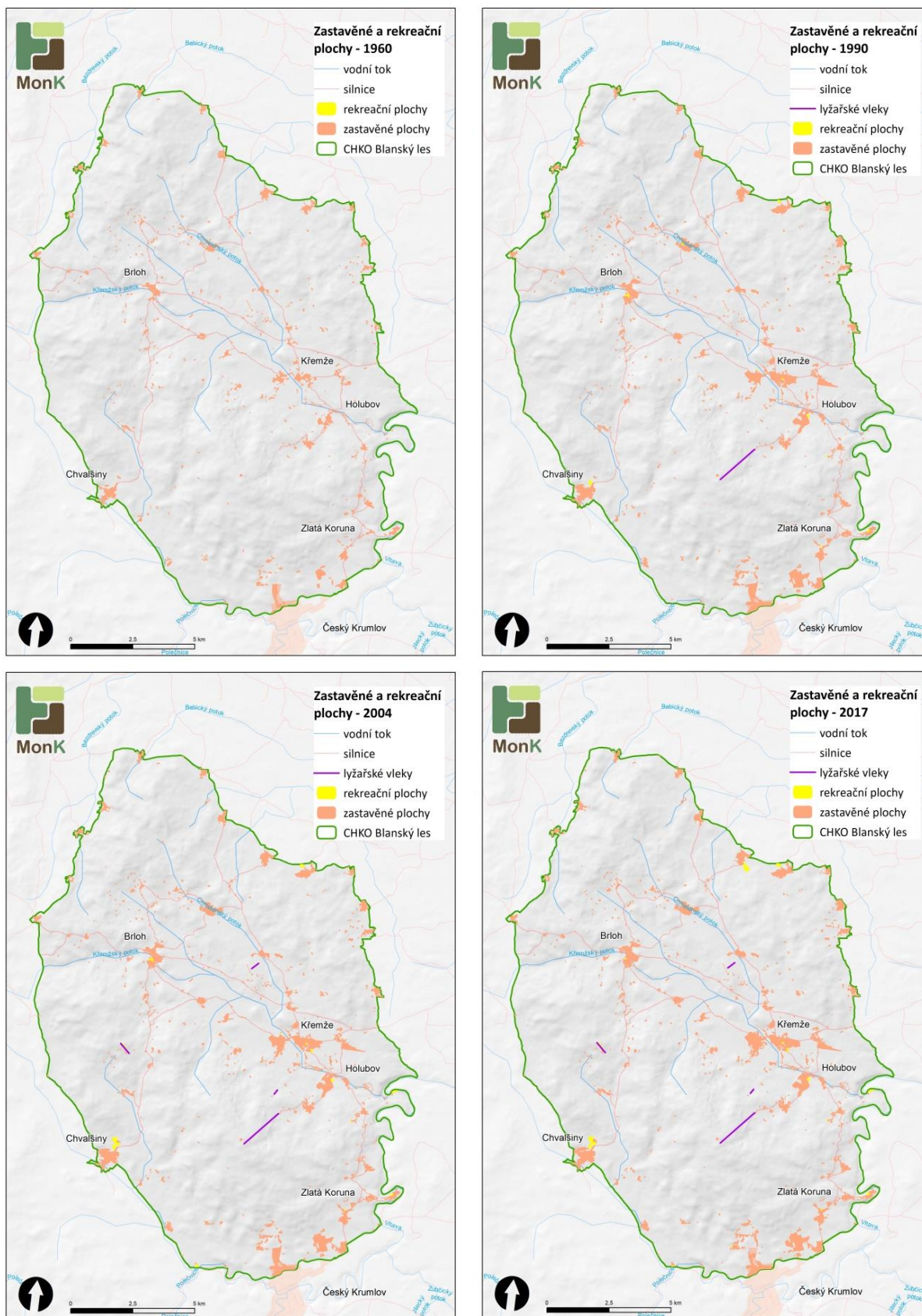
Rok	Délka komunikačních sítí (km)				Délka technické infrastruktury (km)	Délka rekreační infrastruktury (km)	Rozloha rekreačních ploch (ha)				Rozloha zastavěného území (ha)
	Silniční síť	Uliční síť	Cestní síť	Celkem	Elektrické vedení	Vleky, dráhy, můstky	Sjezdové tratě, skokanské můstky	Sportoviště	Kempy	Celkem	
1950/1960	114,76	58,76	1120,30	1293,83	-	0,00	0,00	0,00	0,00	0,00	535,99
1990	155,94	82,42	972,45	1210,82	-	1,84	0,00	7,18	0,00	7,18	832,04
2006	152,50	90,42	966,21	1209,12	110,58	2,94	2,24	8,79	6,76	17,78	870,60
2017	152,61	95,61	941,29	1189,52	112,57	2,94	2,24	12,70	6,03	20,97	940,17



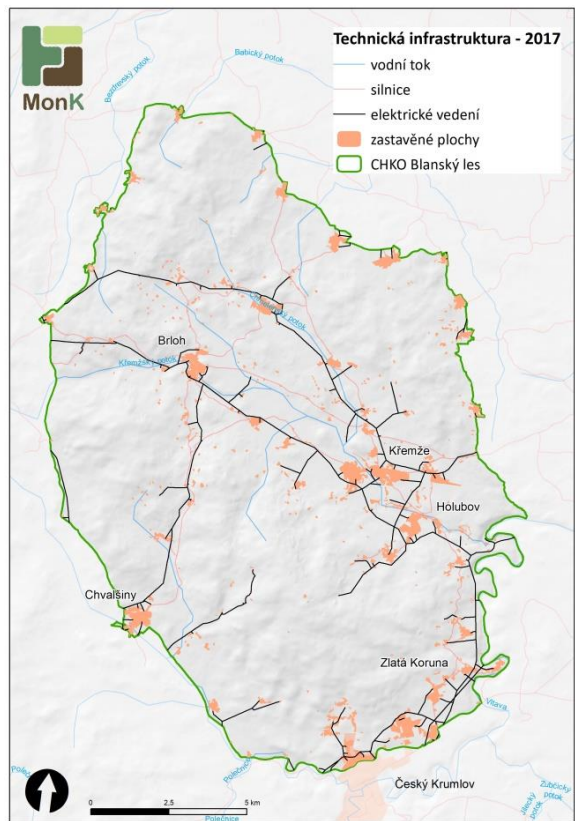
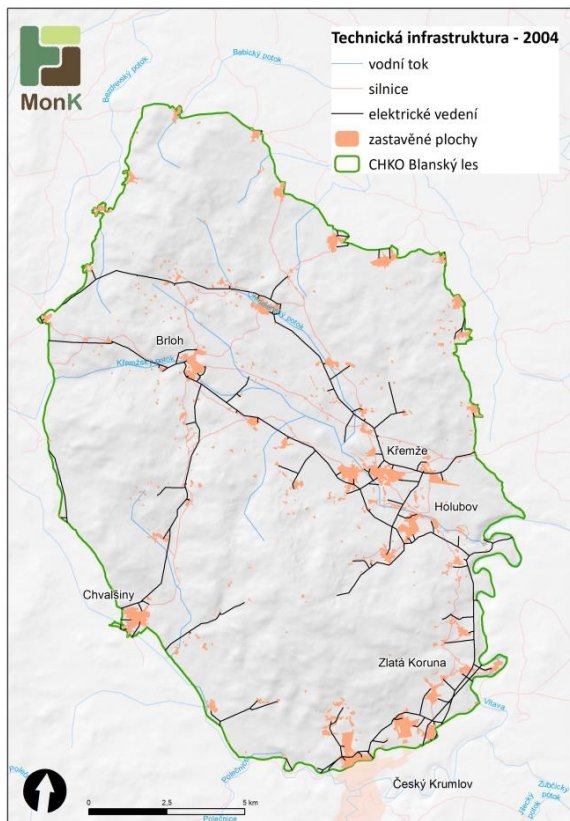


**Obr. 3.1** Vývoj silniční a cestní sítě na území CHKO Blanský les od r. 1960 do 2017. Pozn. současná sídla jsou ilustrativními daty z databáze ArcČR® 500 vně zájmové území a zastavěné plochy (dále také území) jsou námi pořizovaná data v zájmových územích a za stanovené časové horizonty.

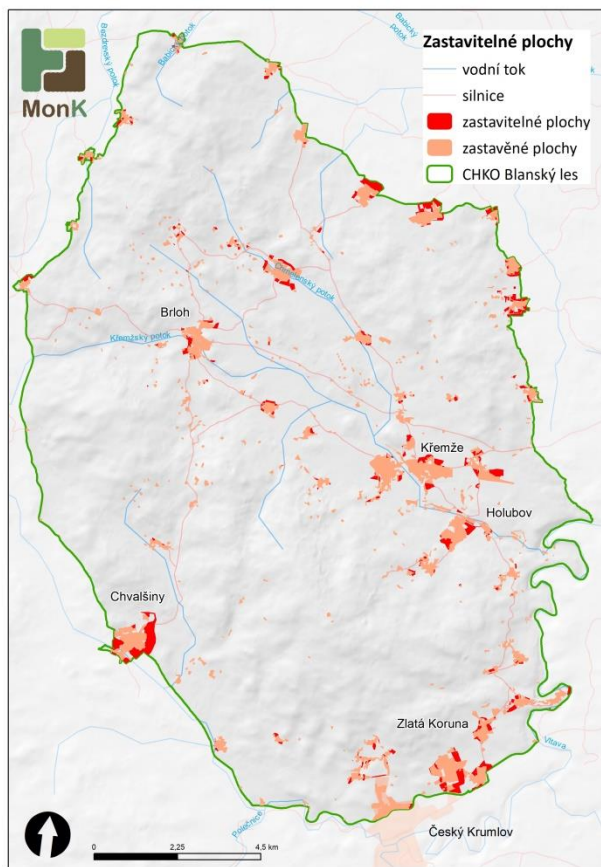




**Obr. 3.2** Vývoj zastavěných ploch a prvků rekreační infrastruktury na území CHKO Blanský les mezi r. 1950 a 2017



**Obr. 3.3** Vývoj technické infrastruktury na území CHKO Blanský les mezi r. 2004 a 2017



**Obr. 3.4** Vymezení zastavitelných ploch na území CHKO Blanský les

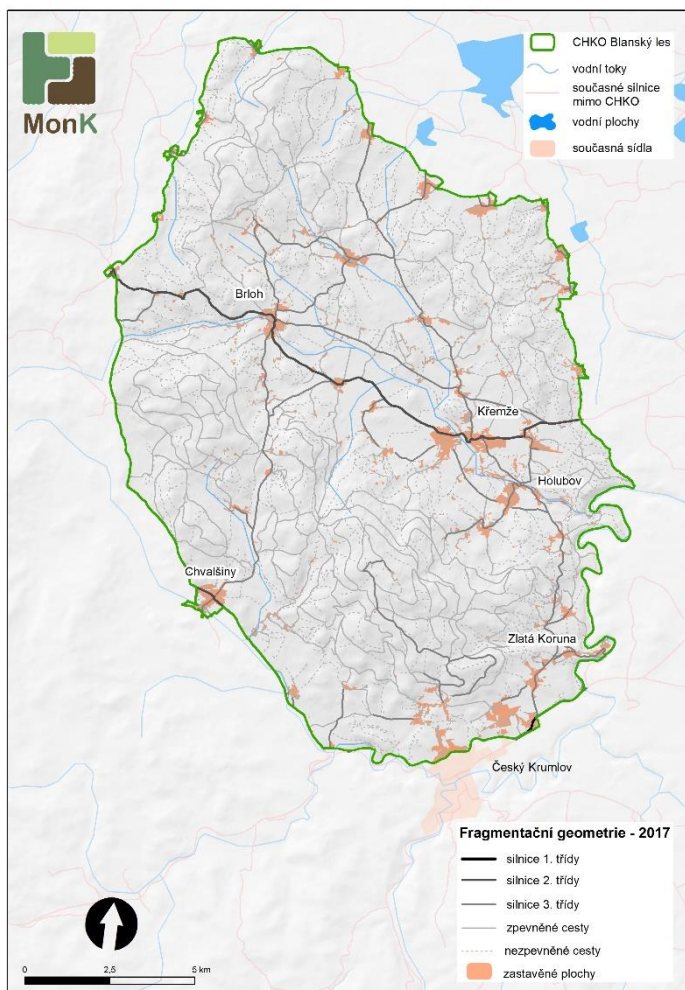


## 4. Fragmentace krajiny

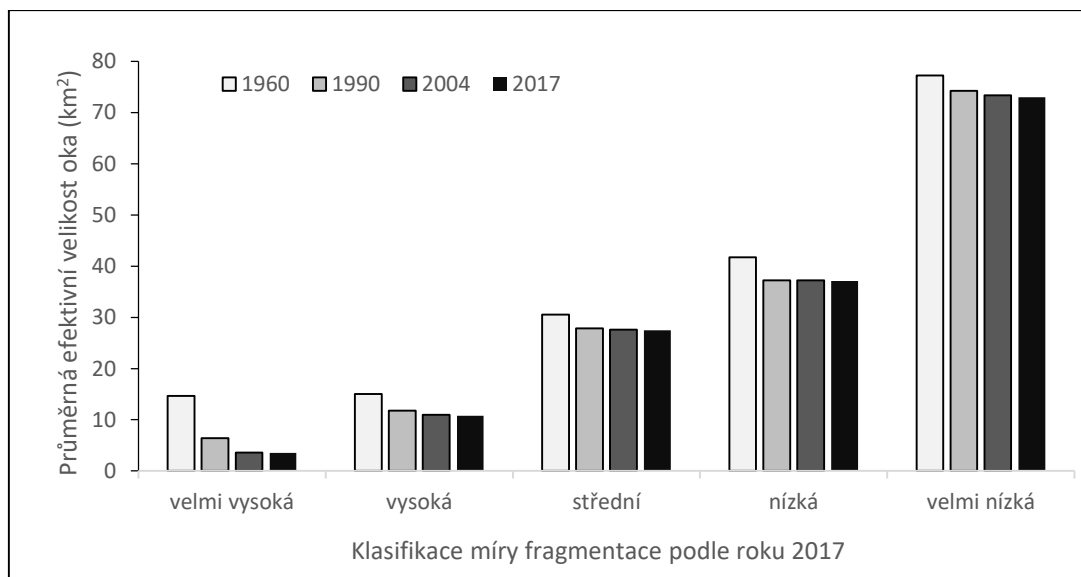
Míra fragmentace krajiny byla spočtena metodou efektivní velikosti oka (zkr. EVO) nad dvěma úrovněmi fragmentační geometrie v letech 1960, 1990, 2004 a 2017. První úroveň fragm. geometrie se skládá ze zástavby a silniční sítě (FG-a, blíže viz obecný úvod). Druhá úroveň fragm. geometrie (FG-b) obsahuje navíc cestní síť neboli účelové komunikace, zpevněné a nezpevněné cesty. Zahrnutí cestní sítě lépe přibližuje skutečný stav krajiny CHÚ, jelikož vystihuje její antropogenní ovlivnění (většinou hospodářského charakteru). Hodnoty EVO vyjadřují v přeneseném významu pravděpodobnost vzájemného propojení dvou náhodně umístěných bodů (organismů) v krajině. To znamená, že čím větší má výsledná proměnná hodnotu, tím vyšší je pravděpodobnost setkání a zároveň tím menší je míra fragmentace krajiny. Výsledky jsou prezentovány pomocí map a grafů, kde je míra fragmentace (neboli EVO) rozdělena do pěti stupňů (od nuly: velmi vysoká – vysoká – střední – nízká – velmi nízká). Rozdělení proběhlo na základě klasifikační metody přirozených intervalů s referenčním obdobím 2017. Jednotlivé stupně míry fragmentace odpovídají rozdělení hodnot míry fragmentace pro referenční období (rok 2017), se kterým jsou ostatní období porovnávána. V případě map je použita stejná klasifikační metoda s tím rozdílem, že hodnoty pro jednotlivá období odpovídají jejich přirozenému rozdělení (nikoli pouze referenčnímu roku). Porovnání s ostatními obdobími je u map pouze vizuální a upozorňuje na proměnu vymezení (ne)fragmentovaných území v prostoru a v čase.

Stav míry fragmentace CHKO ovlivňuje relativně členitý reliéf s nejvyšší horou Kletř (1 084 m n. m.). Území CHKO rozdělují silnice II. a III. třídy do několika poměrně rozlehlých segmentů (FG-a, obr. 4.1). Zástavba je koncentrována do údolí Křemžského potoka a jeho okolí, kde se také nachází vysoká a velmi vysoká míra fragmentace (obr. 4.2). CHKO tvoří poměrně kompaktní lesní celky s velmi nízkou (přes 54 km<sup>2</sup>) a nízkou (nad 32 km<sup>2</sup>) hodnotou EVO. V severní polovině CHKO se nachází roztroušená zástavba spojující se v drobná sídla. Během sledovaného období prošla zástavba na několika místech dynamickým vývojem (zánik a opětovný rozvoj obce Lazec, zánik průmyslového areálu v Českém Krumlově). Při pohledu na vývoj míry fragmentace lze konstatovat, že se od roku 1960 míra fragmentace postupně zhoršuje, zvláště v období 1960-1990 došlo vlivem nárůstu zastavěných ploch k rapidní změně v průměrné hodnotě EVO z 15 na 6 km<sup>2</sup> pro stupeň velmi vysoké fragmentace (vliv rozvoje zastavěných ploch, graf 4.1). Od roku 1990 lze sledovat pozvolný nárůst míry fragmentace krajiny, na kterou nemělo zásadnější vliv zřízení přístupové cesty (označeno jako silnice) na vrchol Kletř, neboť tato cesta dotčený segment krajiny dále nerozděluje.

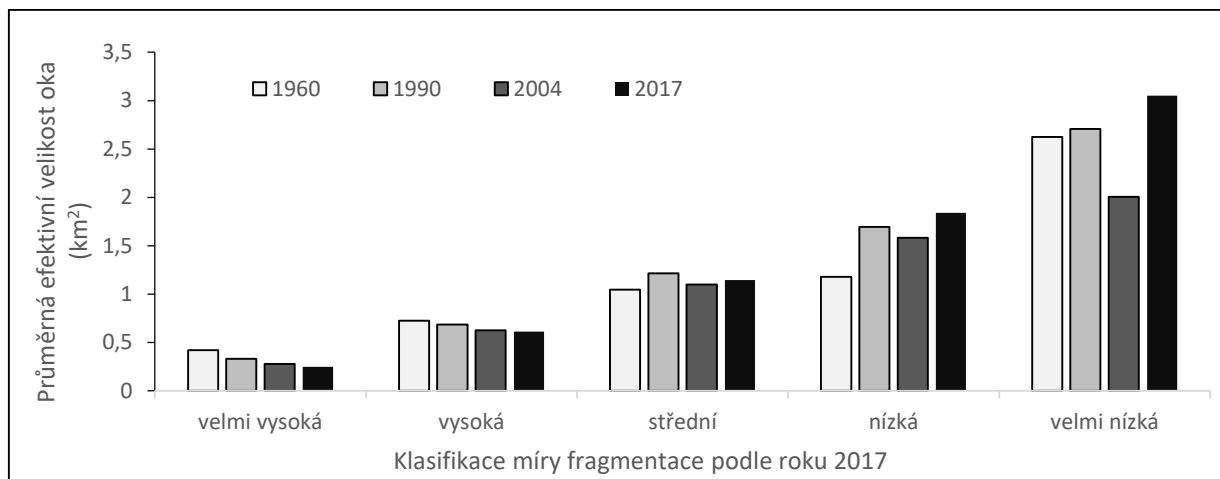
Zapojení cestní sítě (FG-b) přináší zcela jiný pohled na míru fragmentace CHKO (obr. 4.3). Vlivem husté lesní cestní sítě se u ploch s velmi nízkou mírou fragmentace EVO pohybuje mezi 2,4 a 3,5 km<sup>2</sup>. Tyto plochy se nachází pouze v okolí řeky Vltavy a na dvou místech v severní části CHKO, z nichž na jednom z nich se nachází Podnovoveský rybník. Vývoj míry fragmentace v tomto případě odráží rozvoj zastavěných ploch (pro velmi vysokou a vysokou míru fragmentace) a snižování délky cestní sítě, které způsobuje postupné zvyšování průměrné EVO na území s nízkou a velmi nízkou mírou fragmentace (graf 4.2). Vliv rekreační infrastruktury na míru fragmentace krajiny se v celé CHKO projevil pouze v okolí Kletř, kde byla vybudována lanovka. Na ukázkou, v roce 2017 byla průměrná hodnota EVO v okolí lanovky, ale bez zahrnutí jejího vlivu, 0,62 km<sup>2</sup>. Připočtením lanovky se tato hodnota snížila o třetinu na 0,4 km<sup>2</sup>.



**Obr. 4.1** Fragmentační geometrie CHKO Blanský les v roce 2017

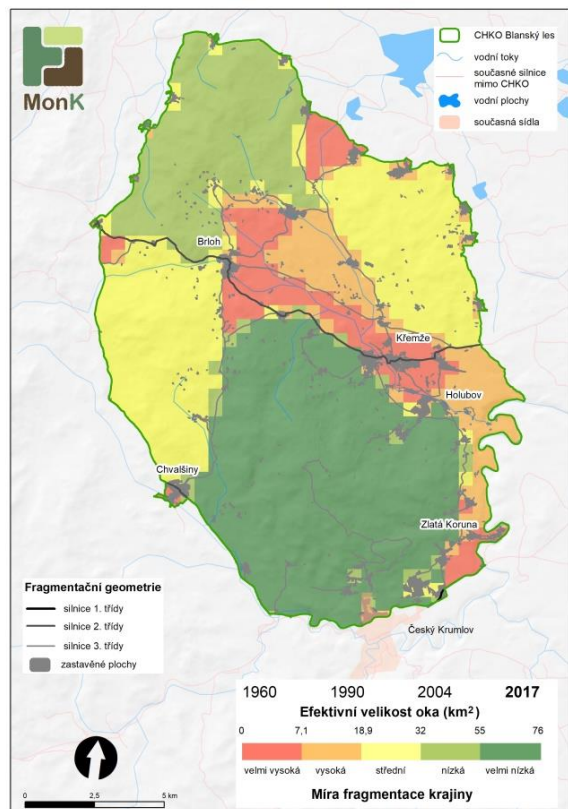
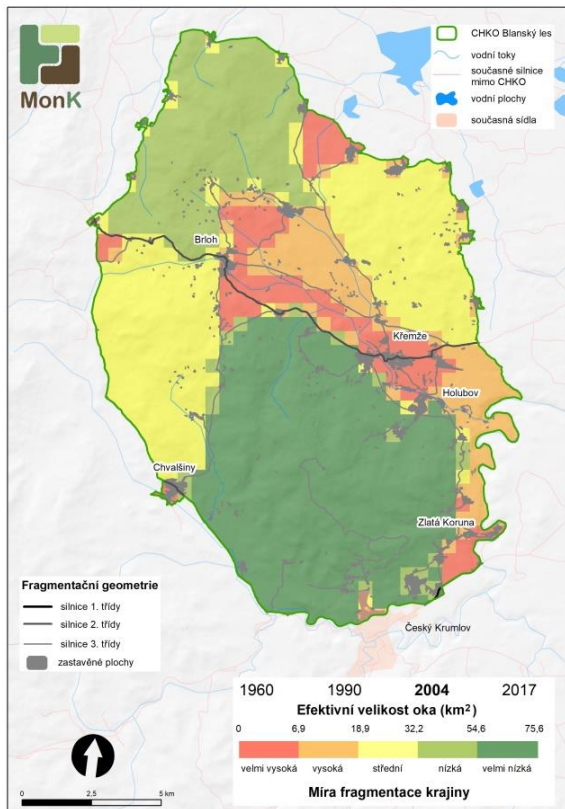
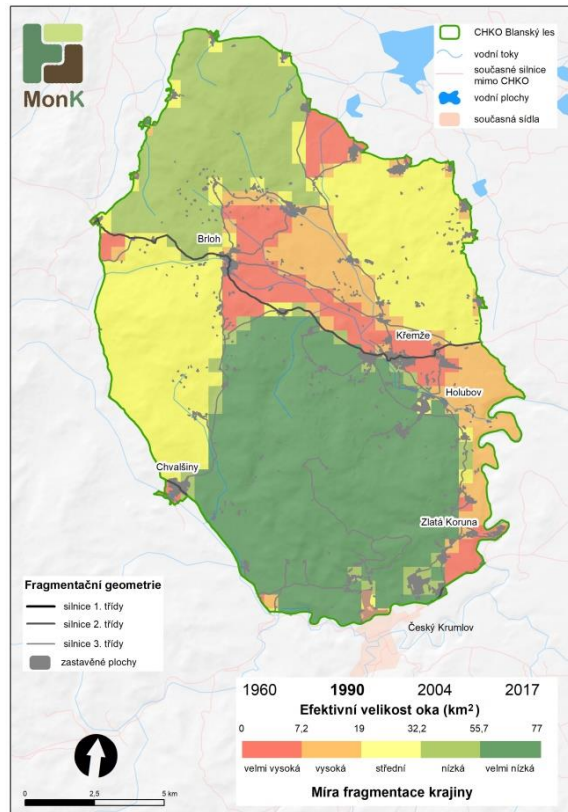
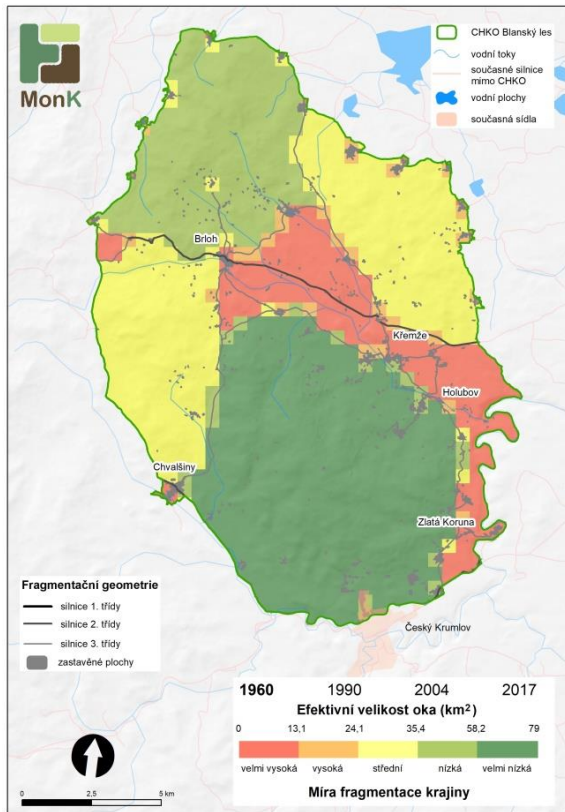


**Graf 4.1** Průměrná efektivní velikost oka ( $\text{km}^2$ ) odpovídající kategorizaci míry fragmentace krajiny (podle FG-a) CHKO Blanský les v jednotlivých letech (pozn.: Hranice intervalů odpovídají mapě pro rok 2017 a byly vytvořeny klasifikační metodou natural breaks (Jenks). Hodnoty pro ostatní roky jsou rozděleny do těchto intervalů. Bližší popis je uveden v textu.)

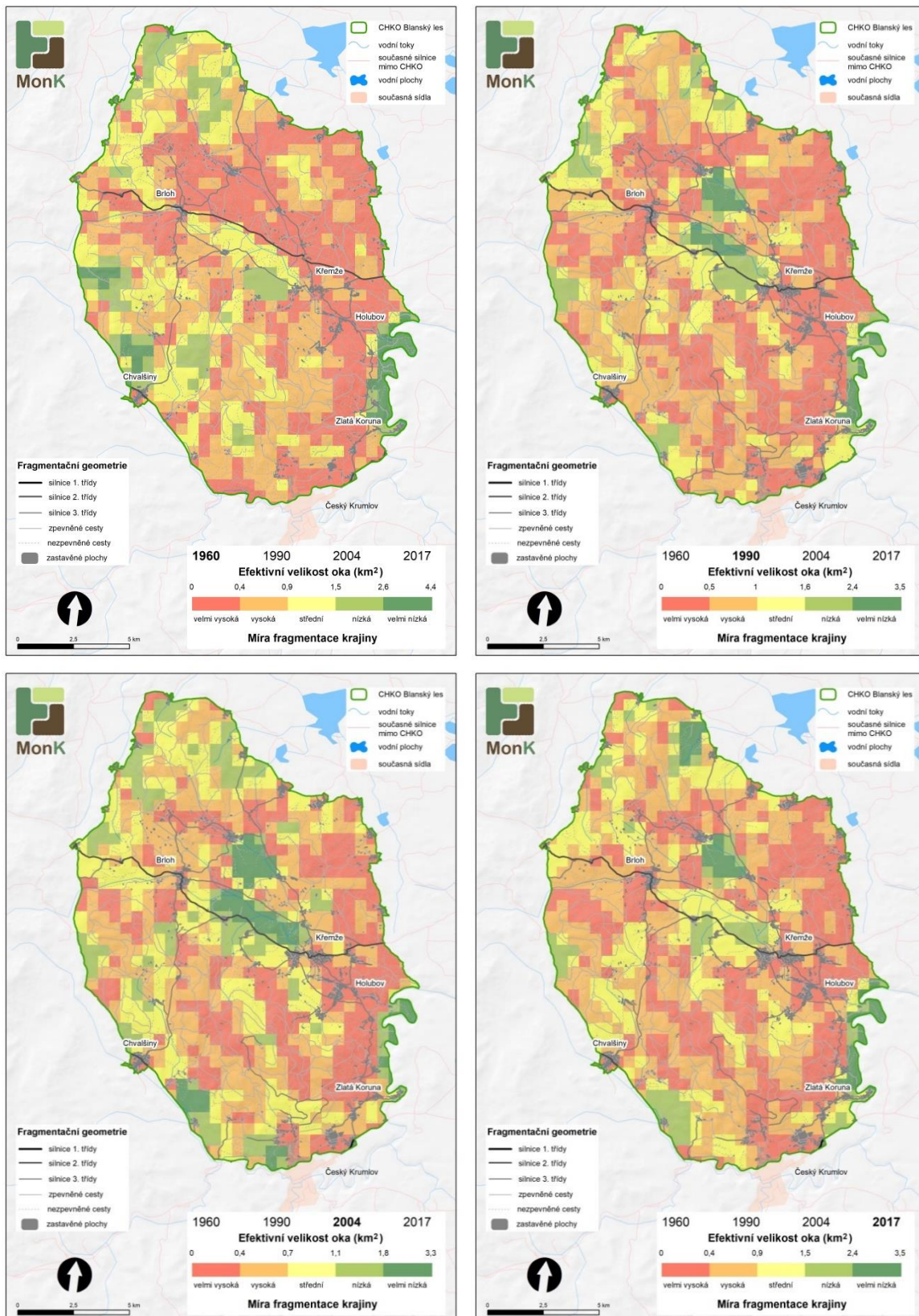


**Graf 4.2** Průměrná efektivní velikost oka ( $\text{km}^2$ ) odpovídající kategorizaci míry fragmentace krajiny (podle FG-b) CHKO Blanský les v jednotlivých letech (pozn.: Hranice intervalů odpovídají mapě pro rok 2017 a byly vytvořeny klasifikační metodou natural breaks (Jenks). Hodnoty pro ostatní roky jsou rozděleny do těchto intervalů. Bližší popis je uveden v textu.)





**Obr. 4.2** Vývoj míry fragmentace krajiny (FG-a) v CHKO Blanský les od roku 1960 do roku 2017



Obr. 4.3 Vývoj míry fragmentace krajiny (FG-b) v CHKO Blanský les od roku 1960 do roku 2017

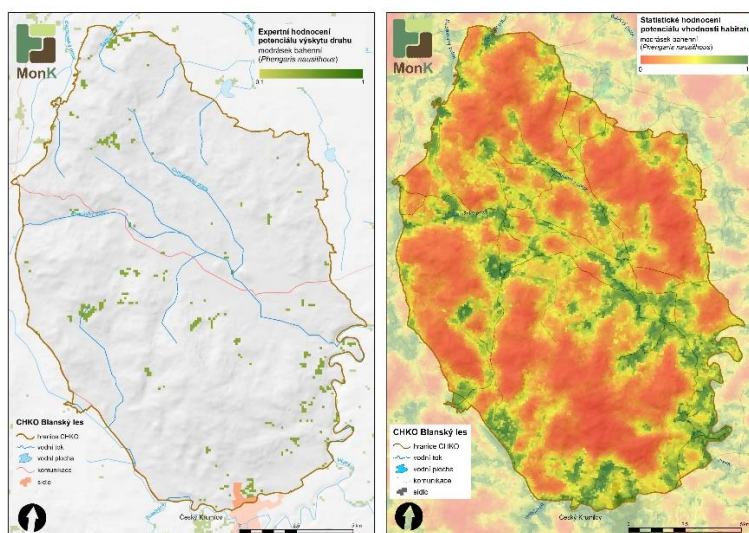


## 5. Habitatové modelování

Pro území CHKO Blanský les byly vybrány indikačně významné, resp. ochránářsky zajímavé druhy z několika taxonomických skupin (motýli, plži, obojživelníci, plazi, ptáci, savci), pro které byly připravovány habitatové modely. Pro druhy, kde byl k dispozici dostatek nálezových dat, byly zpracovány jak expertní, tak i statistické modely, které pak umožňují vzájemné srovnání subjektivního odborného a objektivního geostatistického pohledu na habitatové preference druhu. U některých druhů je pak představen pouze jeden typ výstupu, který byl vyhodnocen jako více reprezentativní.

**Modrásek bahenní (*Phengaris nausithous*)** je v CHKO Blanský les vázaný na rozptýlené plošky extenzivně obhospodařovaných vlhkých luk (Obr. 5.1). Jako monofág krvavce totenu (*Sanguisorba officinalis*) se může vyskytovat i ve vlhkých příkopech okolo cest a kolem vodních ploch. Jeho výskyt je podmíněn jednak stálým vodním režimem stanoviště, ale také citlivým managementem ploch s vhodným načasováním seče. Má velmi podobné nároky jako modrásek očkovaný (*Phengaris teleius*) a tyto druhy se často vyskytují společně na jedné lokalitě. Expertní model přisuzuje dosti malý rozsah habitatů danému druhu. Jedná se např. o oblast na horním toku potoka Borová či okolí Jaronína. Zde se celkem dobře expertní model shoduje se statistickým.

Statistický model založený na habitatu, vzdálenosti od vodních toků, délce vegetační sezóny a heterogenitě krajinného pokryvu projektuje vysoký potenciál do niv potoků a okolí rybníků na mnoha různých místech CHKO. Do modelu není možné dostat jeden z důležitých faktorů určujících výskyt daného druhu – a sice seč lokality v nevhodnou dobu. Úprava doby seče je důležité managementové opatření, kterým lze přispět ke stabilizaci a rozšíření populací modrásků rodu *Phengaris*.

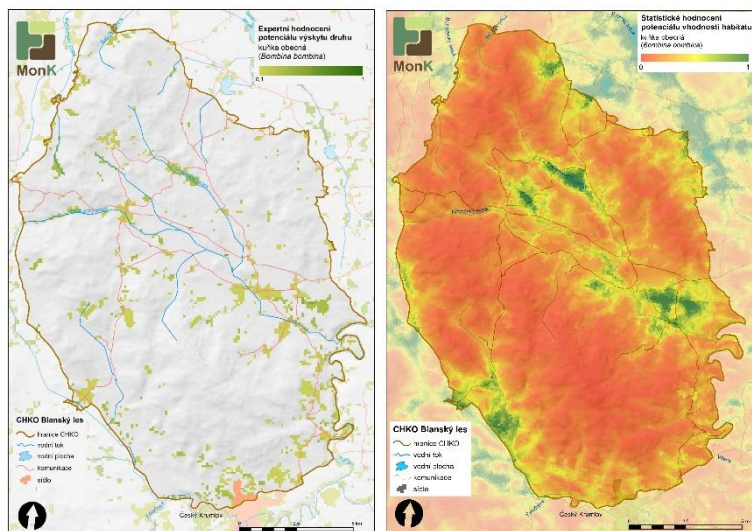


**Obr. 5.1** Expertní a statistické hodnocení habitatové vhodnosti na příkladu modráška bahenního (*Phengaris nausithous*)

**Kučka obecná (*Bombina bombina*)** na území CHKO Blanský les dosahuje spíše nižšího potenciálu výskytu. Jedná se totiž o druh s těžištěm rozšíření pod 400 m n. m. V období rozmnožování preferuje otevřená slunná stanoviště a mělké vodní plochy, pokud možno s kvalitní litorální vegetací. Dále osidluje mokřady, zaplavené prohlubně, napajedla, vyjeté koleje v travních porostech, ale i na zemědělské půdě nebo žije v jezírkách v lomech. Statistický model založený na typu biotopu,

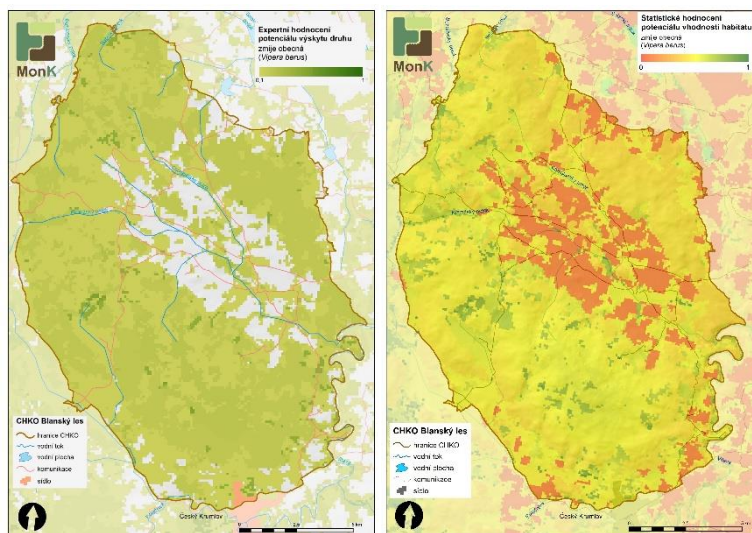


nadmořské výšce, oslunění lokality, vzdálenosti od stojatých vod, bažin a vodních toků se relativně shoduje s modelem expertním (Obr. 5.2). Nejvyšší potenciál je projektován k rybníkům v okolí Křemže, k Podnovoveskému a Brložskému rybníku a do okolí Chvalšín a Červeného dvora.



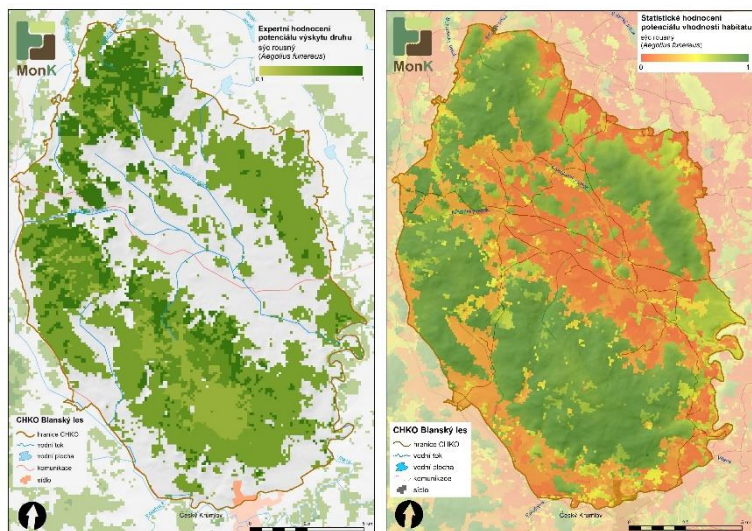
**Obr. 5.2** Expertní a statistické hodnocení habitatové vhodnosti na příkladu kuřky obecné (*Bombina orientalis*)

**Zmije obecná (*Vipera berus*)** obývá široké spektrum lesních a travinných biotopů s dostupností slunných míst, na kterých se může vyhřívat, ale současně i vlhkých stinných úkrytů. Nalezneme ji na pasekách, v lesních lemech a otevřených prostranstvích u lesních potoků. Preferuje střední a vyšší nadmořské výšky, v nížinách má menší potenciál výskytu. Expertní i statistický model (Obr. 5.3) přiřazuje tomuto druhu v zájmovém území poměrně nízký potenciál. Jako příznivé se jeví některé malé plošky – např. louky, lesní paseky apod. Např. na horním toku potoka Borová či okolí Jaronína, kde se oba modely poměrně dobře shodují. Statistický model se opírá o typ habitatu, nadmořskou výšku a průměrné roční srážky.



**Obr. 5.3** Expertní a statistické hodnocení habitatové vhodnosti na příkladu zmije obecné (*Vipera berus*)

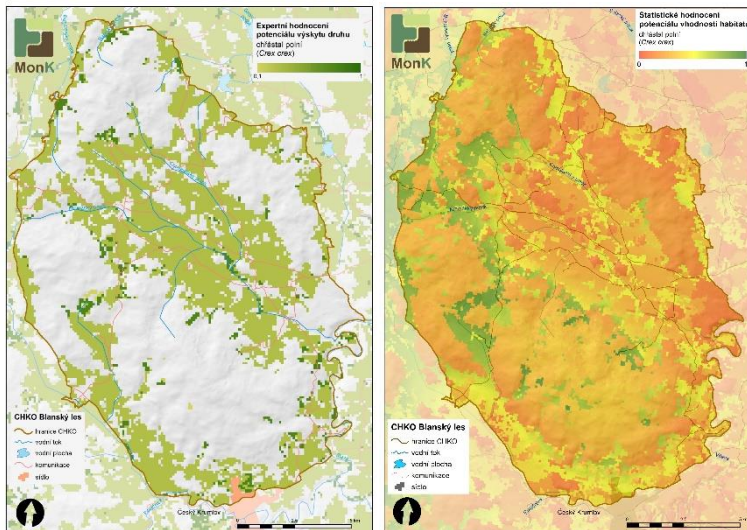
**Sýc rousný (*Aegolius funereus*)** má dle expertního hodnocení těžiště potenciálního výskytu v bučinách středních poloh a dále dobře osidluje i některé jehličnaté a smíšené hospodářské lesy a vyšší polohy. Statistický model pak byl konstruován hlavně na základě typu biotopu a nadmořské výšky. Expertní a statistický model se velice dobře shodují (Obr. 5.4) a ukazují na vysoký potenciál ve všech kompaktnějších lesních oblastech vyšších nadmořských výšek. Především tedy v oblasti masivu Kleti a Bulového na jihu a západě, v oblasti Buglaty a Vysoké Běty na severu i v lesích na východě CHKO v oblasti Švelhánu a Kluku. Co model není schopen zachytit je přítomnost či absence doupných stromů, které jsou nezbytné pro hnízdění tohoto druhu. Management lesních porostů zachovávající doupné stromy či vyvěšování vhodných budek představuje významný způsob posílení populací tohoto druhu.



**Obr. 5.4** Expertní a statistické hodnocení habitatové vhodnosti na příkladu sýce rousného (*Aegolius funereus*)

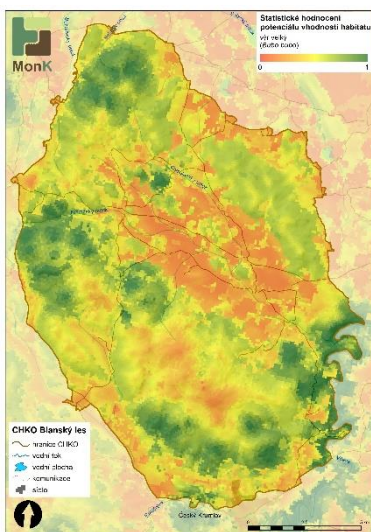
**Chřástal polní (*Crex crex*)**, který je vázán na extenzivní travní porosty s drobnými krajinnými prvky jako prameniště, příkopy, křoviny či skalky. Chřástal polní byl vytlačen do vyšších nadmořských výšek intenzivním zemědělstvím, přirozeně má ale potenciál vyskytovat se na loukách, v některých zemědělských kulturách (např. jetele a vojtěšky) nebo na půdě ležící ladem i v nižších polohách. Expertní model ukazuje jako relativně vhodnou většinu trvalých travních porostů v oblasti.

Statistický model vyhodnotil jako území s největším potenciálem hlavně na loukách přiléhajícím k lesům a jako vhodné hodnotí menší plochy nežli model expertní (Obr. 5.5), nicméně jistá shoda a překryv zde je. Podle statistického modelu postaveném na typu biotopu, délce vegetační sezóny a průměrných ročních srážkách, vyšly jako nejpříhodnější plochy např. oblasti Borové, Nové Hospody Kovářova a Jaronína. Velmi důležitým faktorem pro úspěšné přežití druhu je vysoký porost v době hnízdění a poměrně pozdní seč, což jsou faktory, které model nepostihuje. Udržení vysokého travního a bylinného porostu ve vrcholném létě a načasování seče až doby po vyvedení mláďat představuje managementové opatření, které by zabezpečilo přežití a posílení populace daného druhu v oblasti.



**Obr. 5.5** Expertní a statistické hodnocení habitatové vhodnosti na příkladu chřástala polního (*Crex crex*)

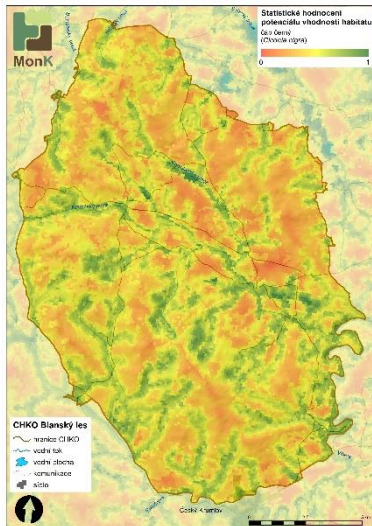
**Výr velký (*Bubo bubo*)** je druh hnízdící v lesních oblastech obvykle v místech s členitým reliéfem. Tomu odpovídá i statistický model, který nalézá nejvhodnější stanoviště na severních svazích a východních svazích masivu Bulového, na severních svazích masivu Buglaty a Vysoké Běty. Na jihu se jako místo s vysokým potenciálem jeví oblast Srnína, Vyšného vrchu a Ohrady, na jihovýchodě pak v hluboce zařízlé údolí Vltavy (Obr. 5.6). Hlavními prediktory statistického modelu jsou nadmořská výška, typ biotopu, vzdálenost od skal, a vertikální heterogenita reliéfu.



**Obr. 5.6** Statistické hodnocení habitatové vhodnosti na příkladu výra velkého (*Bubo bubo*)

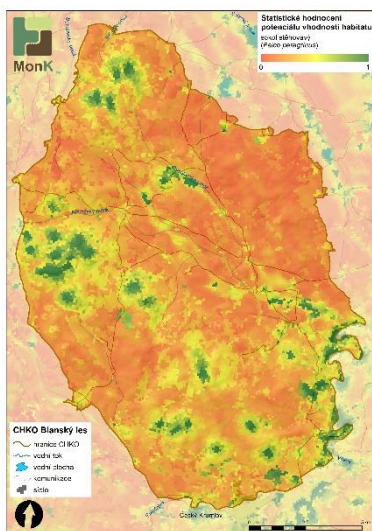
**Čáp černý (*Ciconia nigra*)** si opatřuje potravu především ve vodním prostředí a hnízdí nejčastěji na velkém stromě v rozvolněném vzrostlém lese. Statistický model postavený na typu biotopu, vzdálenosti od vodních toků a vertikální heterogenitě reliéfu ukazuje potenciál pro výskyt druhu především podél lesních potoků, případně dalších vodních toků nebo v i v okolí rybníků (Obr. 5.7).





**Obr. 5.7** Statistické hodnocení habitatové vhodnosti na příkladu čápa černého (*Ciconia nigra*)

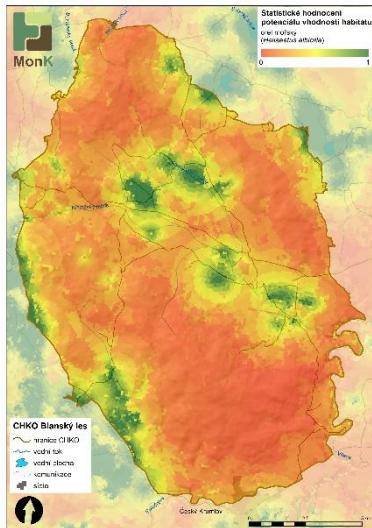
**Sokol stěhovavý (*Falco peregrinus*)** je relativně obtížně postihnuteľný druh. Může hnízdit na budovách, v opuštěných hnízdech jiných dravců v různých typech lesů, ale nejčastěji jej nalezneme hnízdit ve skalních věžích či stěnách. Tomu odpovídá i statistický model konstruovaný na základě typu biotopu vzdálenosti od skal a vertikální heterogenity reliéfu. Predikuje logicky největší potenciál výskytu tohoto druhu na stanovištích se skalisky např. v údolí Vltavy na jihovýchodě, v masivu Bulového na západě či na severu v oblasti Buglaty a Vysoké Běty (Obr. 5.8).



**Obr. 5.8** Statistické hodnocení habitatové vhodnosti na příkladu sokola stěhovavého (*Falco peregrinus*)

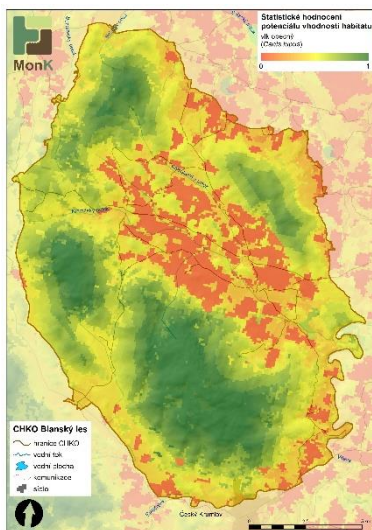
**Orel mořský (*Haliaeetus albicilla*)** má v oblasti minimální potenciál. Druh je vázaný na oblasti větších vodních ploch. V oblasti by se tak teoreticky mohl vyskytnout na Brložském a Podnovoveském rybníce či na rybnících v okolí Křemže. Možný je i zálet do severovýchodních oblastí z prostoru Budějovické pánve. Tomuto předpokladu poměrně dobře odpovídá i statistický model zpracovaný na základě typu biotopu, vzdálenosti od bažin a stojatých vod (Obr. 5.9).





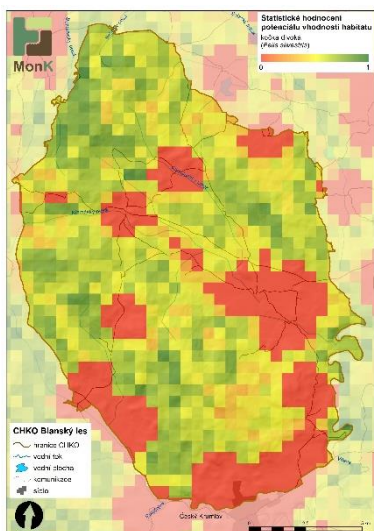
**Obr. 5.9** Statistické hodnocení habitatové vhodnosti na příkladu orla mořského (*Heliaeetus albicilla*)

**Vlk obecný (*Canis lupus*)** má podle statistického modelu (Obr. 5.10) největší potenciál výskytu v rozsáhlejších lesních celcích, především pak v masivu Kleti. Prediktory použitými pro modelování potenciálu výskytu tohoto druhu jsou hlavně nadmořská výška, typ biotopu a vzdálenost od silnic.



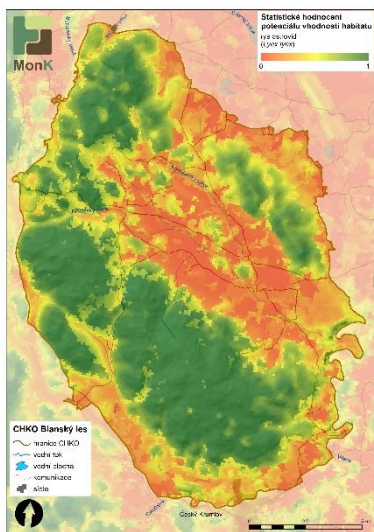
**Obr. 5.10** Statistické hodnocení habitatové vhodnosti na příkladu vlka obecného (*Canis lupus*)

**Kočka divoká (*Felis silvestris*)** má potenciál pro výskyt hlavně v lesnatých oblastech CHKO. Statistický model byl vypracován na základě dat o typu biotopu, nadmořské výšce a délce trvání sněhové pokrývky; validace proběhla s využitím nálezových dat ze Slovenska. Vyšší potenciál výskytu se ukazuje například na severozápadě v oblasti Buglaty (Obr. 5.11).



**Obr. 5.11** Statistické hodnocení habitatové vhodnosti na příkladu kočky divoké (*Felis silvestris*)

**Rys ostrovid (*Lynx lynx*)** je druh rozsáhlejších lesních celků a odlehlejších oblastí. Statistický model beroucí do úvahy hlavně nadmořskou výšku, biotop a vertikální členitost reliéfu ukazuje vysoký potenciál pro výskyt tohoto druhu v lesních oblastech masivu Kletí, Bulového a Vysoké Běty (Obr. 5.12).



**Obr. 5.12** Statistické hodnocení habitatové vhodnosti na příkladu rysa ostrovida (*Lynx lynx*)

Dále byla zpracována expertní hodnocení habitatové vhodnosti pro tyto druhy: čolek horský (*Ichtyosaura alpestris*), čolek velký (*Triturus cristatus*), užovka hladká (*Coronella austriaca*). Mapové výstupy modelů jsou vzhledem k rozsahu zprávy prezentovány pouze v přílohách.